

LAMINARNY MAGNETOHYDRODYNAMICZNY PRZEPIY W CIECZY LEPKIEJ W SZCZELINIE MIĘDZY KRZYWOLINIOWYMI WIRUJĄCYMI POWIERZCHNIAMI OBROTOWYMI

JERZY S A W I C K I (BYDGOSZCZ)

W pracy rozpatrzono stacjonarny przepływ cieczy lepkiej w szczelinie między krzywoliniowymi powierzchniami obrotowymi. Do rozwiązania problemu wykorzystano równania warstwy przyściennej w układzie krzywoliniowym współrzędnych x, θ, y . Równania warstwy przyściennej rozwiązano metodą małego parametru. Otrzymane formuły określają takie parametry, jak składowe prędkości $\bar{V}_x, \bar{V}_\theta, \bar{V}_y$ i ciśnienie \bar{p} .

WAŻNIEJSZE OZNACZENIA

\mathbf{B}	wektor indukcji magnetycznej,
B_x, B_θ, B_y	składowe wektora indukcji magnetycznej,
\mathbf{E}	wektor natężenia pola elektrycznego,
E_x, E_θ, E_y	składowe natężenia pola elektrycznego,
\mathbf{H}	wektor natężenia pola magnetycznego,
H_x, H_θ, H_y	składowe wektora natężenia pola magnetycznego,
Ha	liczba Hartmanna,
$2h(x)$	grubość szczeliny,
I	całkowity prąd elektryczny,
\mathbf{j}	wektor gęstości prądu,
j_x, j_θ, j_y	składowe wektora gęstości prądu,
POS, POK	bezwymiarowe parametry związane z wpływem odśrodkowych sił bezwładności,
PWS, PWK	bezwymiarowe parametry związane z wpływem wzdłużnych sił bezwładności,

p	ciśnienie,
p_w	ciśnienie na wlocie do szczeliny,
p_z	ciśnienie na wylocie ze szczeliny,
$R(x)$	promień powierzchni środkowej szczeliny,
Re	liczba Reynoldsa,
V	wektor prędkości,
V_x, V_θ, V_y	składowe wektora prędkości,
μ	współczynnik lepkości dynamicznej,
ρ	gęstość cieczy,
σ	konduktywność cieczy,
ω_1, ω_2	prędkości kątowe powierzchni obrotowej górnej i dolnej.

1. WPROWADZENIE

Laminarne przepływy cieczy lepkiej przewodzącej elektrycznie w szczelinach między wirującymi powierzchniami obrotowymi w obecności pól magnetycznych i elektrycznych odgrywają coraz bardziej istotną rolę w technice [1,2]. Z tego też względu, badania w tej dziedzinie mają bardzo duże znaczenie zarówno dla badań podstawowych, jak również dla licznych zastosowań praktycznych.

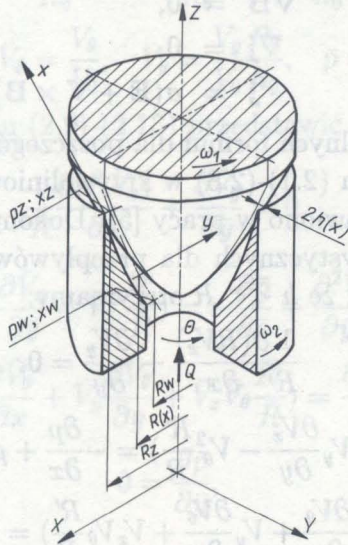
Badania ruchu cieczy lepkich w obecności pól magnetycznych i elektrycznych, a także badania wpływu tych pól na różne procesy fizyczne i chemiczne były prowadzone od wielu już lat. Dotyczyły one w istocie problemów astro i geofizyki, takich jak: dynamika gazowych kosmicznych mas, przenikanie promieniowania kosmicznego, dynamika ciekłych mas we wnętrzu Ziemi, jak również zagadnień związanych z bezpośrednią przemianą energii cieplnej w elektryczną w tzw. generatorach magneto-hydrodynamicznych.

Nowe możliwości jakie stwarzają ciecze przewodzące elektrycznie w rozwiązywaniu licznych zagadnień konstrukcyjnych i eksploatacyjnych w zakresie tarcia, zużycia i smarowania, a zwłaszcza w teorii łożysk ślizgowych, sprzęgieł i uszczelnień zadecydowały o konieczności badania zjawisk występujących w tego rodzaju przepływach.

Celem pracy jest analiza wpływu pola magnetycznego i elektrycznego oraz efektów bezwładności pochodzących od wzdłużnych i odśrodkowych sił wywołanych przepływem cieczy przewodzącej elektrycznie w szczelinach między obracającymi się krzywoliniowymi powierzchniami obrotowymi, w obecności azymutalnego pola magnetycznego.

2. RÓWNANIA RUCHU CIECZY

Rozpatrywany ruch cieczy lepkiej przewodzącej elektrycznie w szczelinie o konfiguracji przedstawionej na rysunku 1 jest laminarny, ustalony i izotermiczny.



Rys. 1. Obszar przepływu cieczy lepkiej

Przepływ odbywa się w obecności zewnętrznego, stacjonarnego, niejednorodnego pola magnetycznego $(0, B_\theta, 0)$ oraz ortogonalnego do powierzchni środkowej pola elektrycznego $(0, 0, E_y)$. Ponadto ograniczono się w rozważaniach ruchu analizowanej cieczy do tzw. przybliżenia magneto hydrodynamicznego [3]. Prowadzi ono, przy założeniu dużej przewodności elektrycznej ośrodka, do pominięcia w równaniach elektrodynamiki gęstości prądu przesunięcia i gęstości prądu konwekcji. Zakładając, iż magnetyczna liczba Reynoldsa jest bardzo mała ($Re_M \ll 1$) pominięto wpływ indukowanego przez ruch cieczy pola magnetycznego.

Na podstawie zasad zachowania masy i pędu, równania ruchu przyjmują postać [4]:

$$(2.1) \quad \operatorname{div} \mathbf{V} = 0,$$

$$(2.2) \quad \rho(\nabla \nabla) \mathbf{V} = -\nabla p + \mu \Delta \mathbf{V} + \mathbf{j} \times \mathbf{B}.$$

Równania (2.1)-(2.2) wymagają do ich "zamknięcia" dodatkowych równań opisujących pole magnetyczne i elektryczne, a mianowicie równań

elektrodynamiki:

$$(2.3) \quad \nabla \times \mathbf{E} = 0,$$

$$(2.4) \quad \nabla \mathbf{E} = 0,$$

$$(2.5) \quad \nabla \times \mathbf{B} = \mu_0 \mathbf{j},$$

$$(2.6) \quad \nabla \mathbf{B} = 0,$$

$$(2.7) \quad \nabla \mathbf{j} = 0,$$

$$(2.8) \quad \mathbf{j} = \sigma(\mathbf{E} + \mathbf{V} \times \mathbf{B}).$$

Korzystając z ogólnych formuł dla poszczególnych operacji wektorowych, równania ruchu (2.1)-(2.8) w krzywoliniowym układzie współrzędnych x, θ, y przedstawiono w pracy [5]. Dokonując w tych równaniach oszacowań charakterystycznych dla przepływów w cienkich warstwach cieczy, tj. zakładając, że $h \ll R$ otrzymamy:

$$(2.9) \quad \frac{1}{R} \frac{\partial(RV_x)}{\partial x} + \frac{\partial V_y}{\partial y} = 0,$$

$$(2.10) \quad \rho(V_x \frac{\partial V_x}{\partial x} + V_y \frac{\partial V_x}{\partial y} - V_\theta^2 \frac{R'}{R}) = -\frac{\partial p}{\partial x} + \mu \frac{\partial^2 V_x}{\partial y^2} - j_y B_\theta,$$

$$(2.11) \quad \rho(V_x \frac{\partial V_\theta}{\partial x} + V_y \frac{\partial V_\theta}{\partial y} + V_x V_\theta \frac{R'}{R}) = \mu \frac{\partial^2 V_\theta}{\partial y^2},$$

$$(2.12) \quad 0 = \frac{\partial p}{\partial y},$$

$$(2.13) \quad j_y = \sigma(E_y + V_x B_\theta).$$

Z równania (2.12) wynika zależność:

$$(2.14) \quad p = p(x).$$

Warunki brzegowe dla składowych prędkości są następujące:

$$(2.15) \quad \begin{aligned} V_x &= 0 \quad \text{dla } y = \mp h, \\ V_y &= 0 \quad \text{dla } y = \mp h, \\ V_\theta &= \omega_1 R(x) \quad \text{dla } y = h, \\ V_\theta &= \omega_2 R(x) \quad \text{dla } y = -h. \end{aligned}$$

Natomiast na wlocie i wylocie ze szczeliny powinny być spełnione następujące warunki brzegowe dla ciśnienia:

$$(2.16) \quad \begin{aligned} p &= p_w \quad \text{dla } x = x_w, \\ p &= p_z \quad \text{dla } x = x_z. \end{aligned}$$

3. CAŁKI RÓWNAŃ RUCHU

Wprowadzając wielkości bezwymiarowe określone następującymi formułami:

$$\bar{x} = \frac{x}{R_0}, \quad \bar{R} = \frac{R}{R_0}, \quad \bar{y} = \frac{y}{h_0},$$

$$\bar{V}_x = \frac{V_x}{V_0}, \quad \bar{V}_\theta = \frac{V_\theta}{V_0}, \quad \bar{V}_y = \frac{V_y R_0}{V_0 h_0}, \quad \bar{p} = \frac{p h_0}{\mu V_0 R_0},$$

możemy równania ruchu (2.9)-(2.13) przedstawić w postaci

$$(3.1) \quad \frac{1}{\bar{R}} \frac{\partial(\bar{R}\bar{V}_x)}{\partial\bar{x}} + \frac{\partial\bar{V}_y}{\partial\bar{y}} = 0,$$

$$(3.2) \quad \lambda(\bar{V}_x \frac{\partial\bar{V}_x}{\partial\bar{x}} + \bar{V}_y \frac{\partial\bar{V}_x}{\partial\bar{y}} - \bar{V}_\theta^2 \frac{\bar{R}'}{\bar{R}}) = -\frac{\partial\bar{p}}{\partial\bar{x}} + \frac{\partial^2\bar{V}_x}{\partial\bar{y}^2} - \bar{j}_y \bar{B}_\theta \text{Ha},$$

$$(3.3) \quad \lambda(\bar{V}_x \frac{\partial\bar{V}_\theta}{\partial\bar{x}} + \bar{V}_y \frac{\partial\bar{V}_\theta}{\partial\bar{y}} + \bar{V}_x \bar{V}_\theta \frac{\bar{R}'}{\bar{R}}) = \frac{\partial^2\bar{V}_\theta}{\partial\bar{y}^2},$$

$$(3.4) \quad 0 = \frac{\partial\bar{p}}{\partial\bar{y}},$$

gdzie

$$\text{Ha} = B_0 h_0 \sqrt{\frac{\sigma}{\mu}}, \quad \bar{B}_\theta = \frac{B_\theta}{B_0}, \quad \bar{j}_y = \frac{h_0 j_y}{V_0} \sqrt{\frac{\sigma}{\mu}}, \quad \lambda = \text{Re}\left(\frac{h_0}{R_0}\right).$$

Wielkości oznaczone indeksem "zero", są wielkościami średnimi w rozpatrywanym obszarze przepływu, λ - zmodyfikowaną liczbą Reynoldsa, która w przepływach laminarnych spotykanych w praktyce spełnia zależność

$$(3.5) \quad \lambda < 1.$$

Z równań (3.1)-(3.4) wynika, że dla ruchu cieczy przewodzącej elektrycznie, dla której spełniony jest warunek (3.5), λ jest małym parametrem układu. Można zatem jego rozwiązania poszukiwać w postaci szeregow potęgowych względem λ :

$$(3.6) \quad \bar{V}_x = \sum_{i=0}^{\infty} \lambda^i \bar{V}_x^i, \quad \bar{V}_\theta = \sum_{i=0}^{\infty} \lambda^i \bar{V}_\theta^i, \quad \bar{V}_y = \sum_{i=0}^{\infty} \lambda^i \bar{V}_y^i, \quad \bar{p}_{i=0} = \sum_{i=0}^{\infty} \lambda^i \bar{p}^i.$$

Podstawiając szeregi (3.6) do równań (3.1)-(3.4), a następnie porządkując i grupując wyrazy względem tych samych potęg λ , otrzymamy,

ograniczając się do przybliżenia liniowego oraz wracając do postaci wymiarowej, następujący ciąg równań:

$$(3.7) \quad \frac{1}{R} \frac{\partial(RV_x^0)}{\partial x} + \frac{\partial V_y^0}{\partial y} = 0,$$

$$(3.8) \quad 0 = -\frac{\partial p^0}{\partial x} + \mu \frac{\partial^2 V_x^0}{\partial y^2} - j_y^0 B_\theta,$$

$$(3.9) \quad 0 = \mu \frac{\partial^2 V_\theta^0}{\partial y^2},$$

$$(3.10) \quad 0 = \frac{\partial p^0}{\partial y},$$

$$(3.11) \quad \frac{1}{R} \frac{\partial(RV_x^1)}{\partial x} + \frac{\partial V_y^1}{\partial y} = 0,$$

$$(3.12) \quad \rho(V_x^0 \frac{\partial V_x^0}{\partial x} + V_y^0 \frac{\partial V_x^0}{\partial y} - V_\theta^0 \frac{R'}{R}) = -\frac{\partial p^1}{\partial x} + \mu \frac{\partial^2 V_x^1}{\partial y^2},$$

$$(3.13) \quad \rho(V_x^0 \frac{\partial V_\theta^0}{\partial x} + V_y^0 \frac{\partial V_\theta^0}{\partial y} + V_x^0 V_\theta^0 \frac{R'}{R}) = \mu \frac{\partial^2 V_\theta^1}{\partial y^2} - j_y^1 B_\theta,$$

$$(3.14) \quad 0 = \frac{\partial p^1}{\partial y}.$$

Warunki brzegowe zgodnie z (2.15) i (2.16) przyjmują teraz postać:

$$V_x^0 = 0, \quad V_y^0 = 0, \quad V_\theta^0 = \omega_1 R(x),$$

$$V_x^1 = 0, \quad V_y^1 = 0, \quad V_\theta^1 = 0, \quad \text{dla } y = +h;$$

$$V_x^0 = 0, \quad V_y^0 = 0, \quad V_\theta^0 = \omega_2 R(x),$$

$$V_x^1 = 0, \quad V_y^1 = 0, \quad V_\theta^1 = 0, \quad \text{dla } y = -h;$$

$$p^0 = pw, \quad p^1 = 0, \quad \text{dla } x = xw;$$

$$p^0 = pz, \quad p^1 = 0, \quad \text{dla } x = xz.$$

Całkując równania (3.7)-(3.14) przy spełnieniu powyższych warunków brzegowych, otrzymamy:

$$(3.15) \quad V_x^0 = \frac{1}{2\mu Rh^3} \frac{pw - pz - (Bw - Bz)}{(Aw - Az) + (Mw - Mz)} (y^2 - h^2),$$

$$(3.16) \quad V_y^0 = -\frac{h'}{2\mu Rh^4} \frac{pw - pz - (Bw - Bz)}{(Aw - Az) + (Mw - Mz)} (h^2 y - y^3),$$

$$(3.17) \quad V_{\theta}^0 = \frac{R}{2} [(\omega_1 - \omega_2) \frac{y}{h} + (\omega_1 + \omega_2)],$$

$$(3.18) \quad p^0 = B(x) + \frac{[A(x) - Az](pw - Bw)[1 + Z(x)]}{(Aw - Az)[1 + (Mw - Mz)/(Aw - Az)]} - \\ - \frac{[A(x) - Aw](pz - Bz)[1 + W(x)]}{(Aw - Az)[1 + (Mw - Mz)/(Aw - Az)]},$$

$$(3.19) \quad V_z^1 = \frac{1}{840} \frac{\rho C^2 (Rh')}{\mu^3 R^3 h^7} (35h^2 y^4 - 7y^6 + 5h^6 - 33h^4 y^2) - \\ - \frac{1}{240} \frac{\rho R R'}{\mu h^2} [(\omega_1 - \omega_2)^2 (5y^4 - 6h^2 y^2 + h^4) + 20(\omega_1^2 - \omega_2^2)(y^3 h - h^3 y)],$$

$$(3.20) \quad V_y^1 = \frac{1}{840} \frac{\rho C^2}{\mu^3 R} \left[\left(\frac{Rh'}{R^2 h^7} \right)' (y^7 - 7h^2 y^5 - 5h^6 y + 11h^4 y^3) + \right. \\ \left. + \frac{(Rh')h'}{R^2 h^7} (44h^3 y^3 - 14y^5 - 30h^5 y) \right] + \frac{1}{240} \frac{\rho}{\mu R} \left\{ \frac{(R^2 R')'}{h^2} \times \right. \\ \times [(\omega_1 - \omega_2)^2 (y^5 - 2h^2 y^3 + h^4 y) + 5(\omega_1^2 - \omega_2^2)(hy^4 - 2h^3 y^2 + h^5)] + \\ \left. + \frac{R^2 R'}{h^2} h' [4(\omega_1 - \omega_2)^2 (h^3 y - hy^3) + 5(\omega_1^2 - \omega_2^2)(y^4 - 6h^2 y^2 + 5h^4)] \right\},$$

$$(3.21) \quad V_{\theta}^1 = \frac{1}{120} \frac{\rho C R'}{\mu^2 R h^4} [(\omega_1 - \omega_2)(3y^5 - 10h^2 y^3 + 7h^4 y) + (\omega_1 + \\ + \omega_2)(5hy^4 - 30h^3 y^2 + 25h^5)],$$

$$(3.22) \quad p^1 = D(x) - \frac{[A(x) - Az]Dw - [A(x) - Aw]Dz}{Aw - Az};$$

tutaj

$$R' = \frac{dR}{dx}, \quad h' = \frac{dh}{dx}, \quad C = \frac{pw - Bw - (pz - Bz)}{(Aw - Az) + (Mw - Mz)},$$

$$A(x) = \int \frac{dx}{R(x)h^3}, \quad Aw = A(xw), \quad Az = A(xz),$$

$$B(x) = -\sigma E_y B_0 R w \int \frac{dx}{R}, \quad Bw = B(xw), \quad Bz = B(xz),$$

$$Z(x) = \frac{M(x) - Mz}{A(x) - Az}, \quad W(x) = \frac{M(x) - Mw}{A(x) - Aw},$$

$$M(x) = \frac{1}{3} \text{Ha}^2 R w^2 \int \frac{dx}{(Rh)^3}, \quad Mw = M(xw), \quad Mz = M(xz),$$

$$E_y = \frac{1}{[c(x) - \frac{1}{3} \text{Ha}^2 R w^2 \frac{cl(x)}{1 + (Mw - Mz)/(Aw - Az)}]} \frac{J}{2\pi\sigma} +$$

$$+ \frac{1}{3} \frac{h^2}{\sigma\mu} \text{Ha} R w \frac{pw - pz}{Aw - Az} \frac{cl(x)}{1 + (Mw - Mz)/(Aw - Az)},$$

$$c(x) = \int_{xw}^{xz} R dx, \quad cl(x) = \int_{xw}^{xz} \frac{dx}{R},$$

$$D(x) = \int \left\{ \frac{6}{35} \frac{\rho C^2 (Rh)'}{\mu^2 R^3 h^3} + \frac{\rho R R'}{20} [(\omega_1 - \omega_2)^2 + 5(\omega_1 + \omega_2)^2] \right\} dx,$$

$$Dw = D(xw), \quad Dz = D(xz).$$

Pełne rozwiązanie przepływu cieczy przewodzącej elektrycznie w szczelinie w ogólności o zarysie krzywoliniowym stanowią sumy rozwiązań cząstkowych.

4. RUCH CIECZY W SZCZELINIE MIĘDZY WIRUJĄCYMI POWIERZCHNIAMI STOŻKOWYMI

Wstawiając w sposób następujący do zależności (3.15) - (3.22) funkcje określające geometrię obszaru przepływu (rys.2):

$$(4.1) \quad R = x \sin(\alpha), \quad R w = x w \sin(\alpha), \quad R z = x z \sin(\alpha), \quad R' = \sin(\alpha),$$

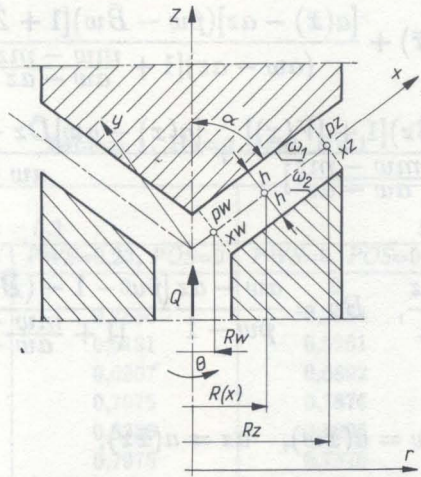
a następnie wprowadzając zmienne bezwymiarowe:

$$\bar{x} = \frac{x}{Rz}, \quad \bar{y} = \frac{y}{h}, \quad \bar{R} = \frac{R}{Rz}, \quad \bar{R}' = 1,$$

$$\bar{V}_x = \frac{V_x}{V_{x_{\max}}^0}, \quad \bar{V}_y = \frac{V_y}{V_{y_{\max}}^0} \frac{xz \sin(\alpha)}{h}, \quad \bar{V}_\theta = \frac{V_\theta}{\omega_1 x z \sin(\alpha)} \frac{2}{x},$$

gdzie

$$V_{x_{\max}}^0 = -\frac{1}{2} \frac{pzh^2}{\mu x z \sin(\alpha)} \frac{(\bar{p}w - 1)}{(aw - az)} \frac{1}{x},$$



Rys. 2. Geometria szczeliny stożkowej

otrzymamy bezwymiarowe formuły opisujące pole prędkości i ciśnienia w szczelinie, w postaci:
 przybliżenie zerowe

$$(4.2) \quad \bar{V}_x^0 = \frac{\left[1 - \frac{\bar{B}w - \bar{B}z}{pw - 1}\right]}{\left[1 + \frac{mw - mz}{aw - az}\right]} (1 - \bar{y}^2),$$

$$(4.3) \quad \bar{V}_y^0 = 0,$$

$$(4.4) \quad \bar{V}_\theta^0 = [(1 - K)\bar{y} + (1 + K)],$$

przybliżenie liniowe (suma rozwiązań cząstkowych \bar{V}^0 i \bar{V}^1)

$$(4.5) \quad \bar{V}_x = \bar{V}_x^0 - \frac{1}{420} PWSBa \frac{1}{\bar{x}^2} (5 - 7\bar{y}^6 + 35\bar{y}^4 - 33\bar{y}^2) + \frac{1}{120} POSAp\bar{x}^2 [(1 - K)^2 (5\bar{y}^4 - 6\bar{y}^2 + 1) + 20(1 - K^2)(\bar{y}^3 - \bar{y})],$$

$$(4.6) \quad \bar{V}_y = \frac{1}{240} PWSBa \frac{1}{\bar{x}^3} (\bar{y}^7 - 7\bar{y}^5 + 11\bar{y}^3 - 5\bar{y}) + \frac{1}{60} POSAp\bar{x} [(1 - K)^2 (\bar{y}^5 - 2\bar{y}^3 + \bar{y}) + 5(1 - K^2)(\bar{y}^4 - 2\bar{y}^2 + 1)],$$

$$(4.7) \quad \bar{V}_\theta = [(1 - K)\bar{y} + (1 + K)] + \frac{1}{60} PWS(aw - az)[\bar{p}w - 1 - (\bar{B}w - \bar{B}z)] \frac{1}{\bar{x}^2} [(1 - K)(3\bar{y}^5 - 10\bar{y}^3 + 7\bar{y}) + (1 + K)(5\bar{y}^4 - 30\bar{y}^2 + 25)],$$

$$(4.8) \quad \bar{p} = \bar{B}(\bar{x}) + \bar{D}(\bar{x}) + \frac{[a(\bar{x}) - az](\bar{p}w - \bar{B}w)[1 + \bar{Z}(x)]}{(aw - az)[1 + \frac{mw - mz}{aw - az}]}$$

$$- \frac{[a(\bar{x}) - aw](1 - \bar{B}z)[1 + \bar{W}(x)]}{(aw - az)[1 + \frac{mw - mz}{aw - az}]} + \frac{[a(x) - aw]\bar{D}z - [a(x) - az]\bar{D}w}{aw - az};$$

gdzie

$$Ap = \frac{aw - az}{pw - 1}, \quad Ba = \frac{aw - az}{\bar{p}w - 1} \frac{[\bar{p}w - 1 - (\bar{B}w - \bar{B}z)]^2}{[1 + \frac{mw - mz}{aw - az}]^2},$$

$$a(\bar{x}) = \ln(\bar{x}), \quad aw = a(\bar{x}w), \quad az = a(\bar{x}z),$$

$$B(\bar{x}) = -EHa\bar{x}w\ln(\bar{x}), \quad \bar{B}w = \bar{B}(\bar{x}w), \quad \bar{B}z = \bar{B}z(\bar{x}z), \quad Ha = B_0h\sqrt{\frac{\sigma}{\mu}},$$

$$E = \frac{E_y xz \sin(\alpha) \sqrt{\sigma \mu}}{hpz},$$

$$m(\bar{x}) = -\frac{1}{6}Ha^2 \frac{\bar{x}w^2}{\bar{x}^2}, \quad mw = m(\bar{x}w), \quad mz = m(\bar{x}z),$$

$$\bar{Z}(\bar{x}) = 1 + \frac{m(\bar{x}) - mz}{a(\bar{x}) - az}, \quad \bar{W}(\bar{x}) = 1 + \frac{m(\bar{x}) - mw}{a(\bar{x}) - aw},$$

$$\bar{D}(\bar{x}) = PWSf w \frac{1}{\bar{x}^2} + POSfo\bar{x}^2, \quad \bar{D}w = \bar{D}(\bar{x}w), \quad \bar{D}z = \bar{D}(\bar{x}z),$$

$$fw = -\frac{3}{35} \frac{[\bar{p}w - 1 - \bar{B}w + \bar{B}z]^2}{[1 + \frac{mw - mz}{aw - az}]^2}, \quad fo = \frac{1}{40} [(1 - K)^2 + 5(1 + K)^2],$$

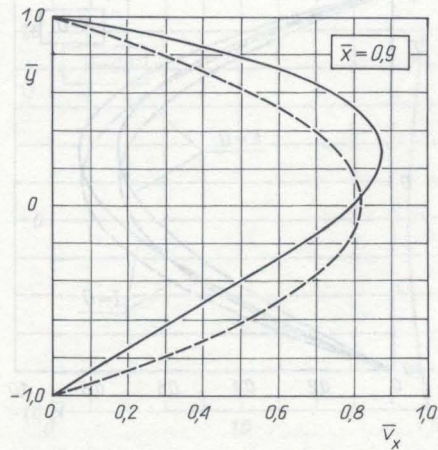
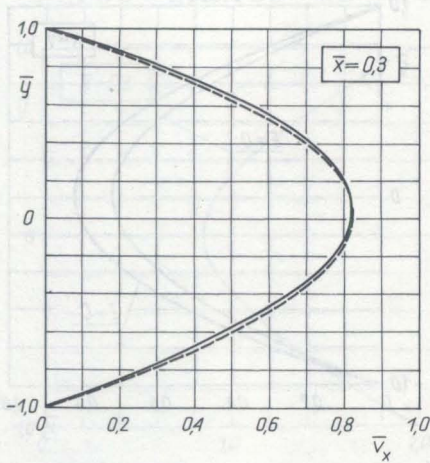
$$K = \frac{\omega_2}{\omega_1},$$

$$PWS = \frac{\rho p z h^4}{\mu^2 x z^2 \sin^2(\alpha) (aw - az)^2}, \quad POS = \frac{\rho \omega_1^2 \bar{x} z^2 \sin^2(\alpha)}{p z}.$$

Przedstawione powyżej formuły zilustrowano wykresami (rys.3-11), natomiast wpływ wzdłużnych sił bezwładności na profil składowej prędkości wzdłużnej zobrazowano w tablicy 1.

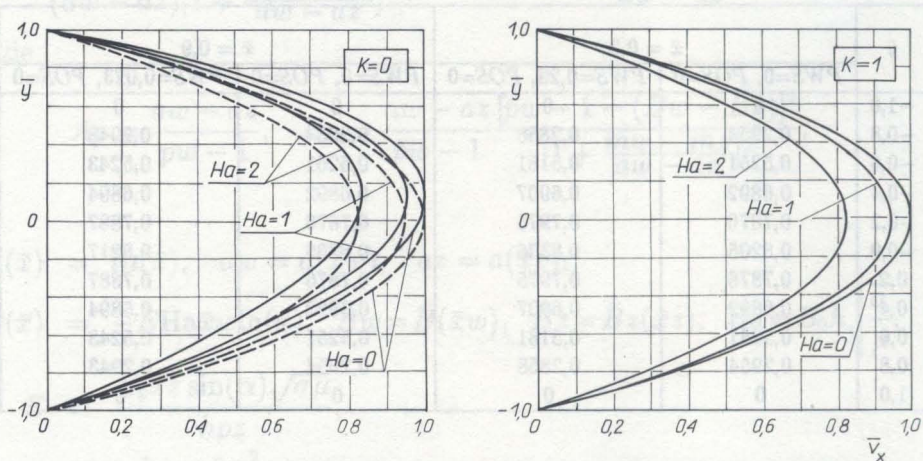
Tablica 1. $Ha=2, I=0, K=1$

\bar{y}	$\bar{x} = 0,3$		$\bar{x} = 0,9$	
	$PWS=0, POS=0$	$PWS=0,23, POS=0$	$PWS=0, POS=0$	$PWS=0,023, POS=0$
-1,0	0	0	0	0
-0,8	0,2954	0,2858	0,2954	0,2943
-0,6	0,5251	0,5181	0,5261	0,5243
-0,4	0,6892	0,6907	0,6892	0,6894
-0,2	0,7876	0,7975	0,7876	0,7887
-0,0	0,8205	0,8336	0,8205	0,8217
0,2	0,7876	0,7975	0,7876	0,7887
0,4	0,6892	0,6907	0,6892	0,6894
0,6	0,5251	0,5181	0,5251	0,5243
0,8	0,2954	0,2858	0,2954	0,2943
1,0	0	0	0	0

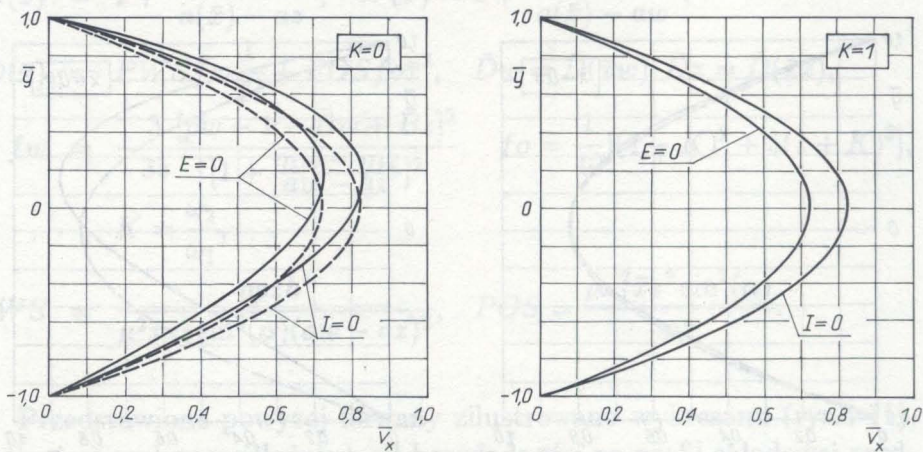


Rys. 3. Wpływ odśrodkowych sił bezwładności na profil składowej prędkości \bar{V}_x ,
 ($PWS = 0, POS = 10, K = 0, Ha = 2, I = 0$), (--- $PWS = POS = 0$)

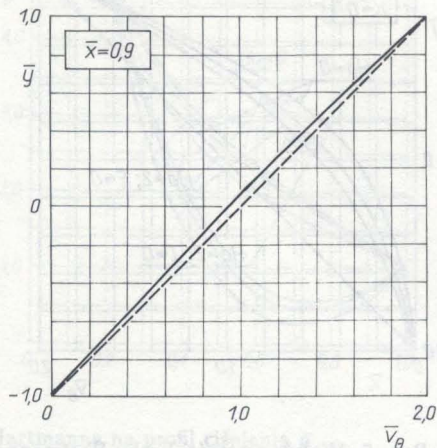
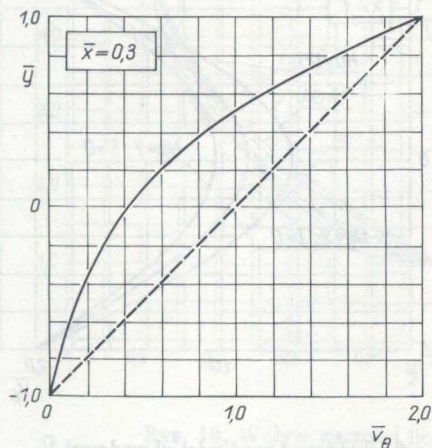
$$(4.3) \quad \beta = \beta(x) + D(x) + \frac{[a(x) - ax](\alpha u - \beta v)}{(\alpha u - ax)(1 + \frac{\alpha u - \beta v}{\alpha u - ax})} + \beta(x)$$



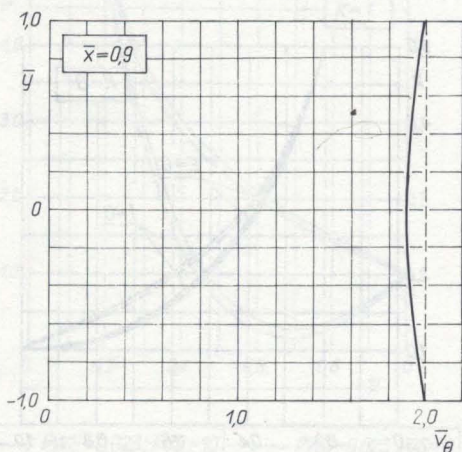
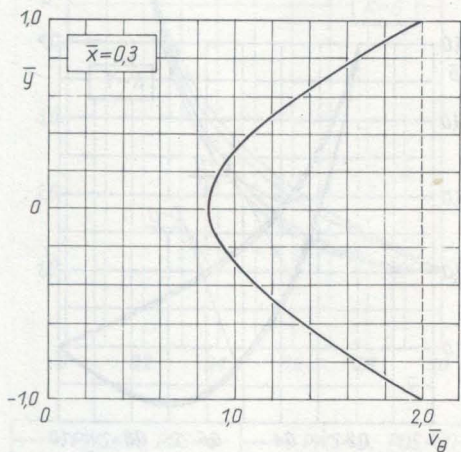
Rys. 4. Wpływ wartości liczby Hartmanna na profil prędkości wzdłużnej \bar{V}_x ,
($PWS = 0,023$, $POS = 10$, $\bar{x} = 0,6$), (--- $PWS = POS = 0$)



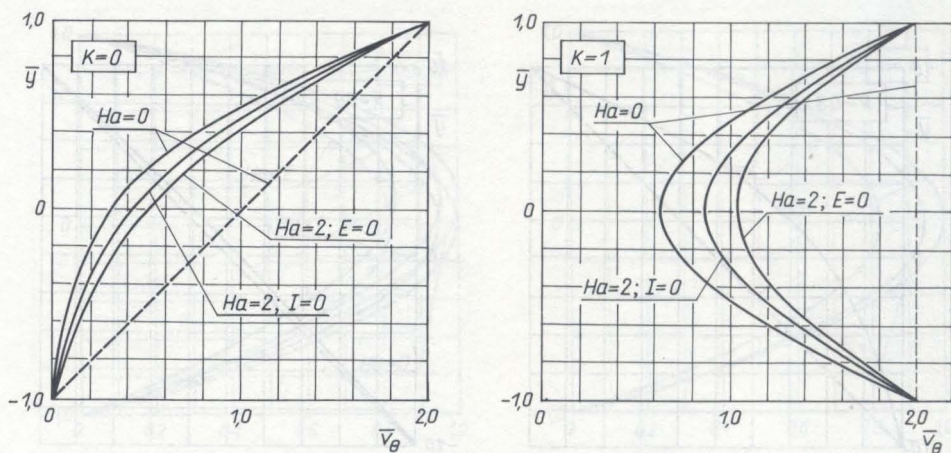
Rys. 5. Profil składowej prędkości wzdłużnej \bar{V}_x ($I = 0$ - otwarty obwód elektryczny,
 $E = 0$ - stan zwarcia w obwodzie),
($PWS = 0,023$, $POS = 10$, $Ha = 2$, $\bar{x} = 0,6$), (--- $PWS = POS = 0$)



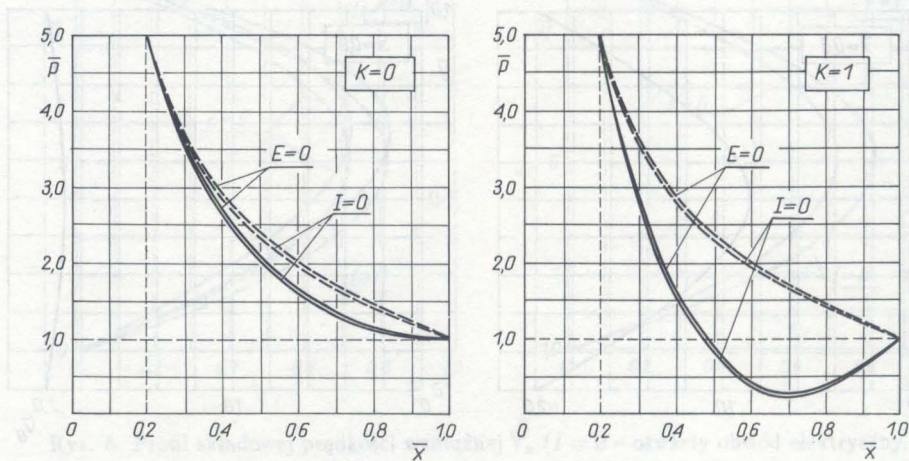
Rys. 6. Wpływ wzdłużnych sił bezwładności na profil składowej \bar{V}_θ
 ($PWS = 0,023, POS = 0, K = 0, Ha = 2, I = 0$), (----- $PWS = POS = 0$)



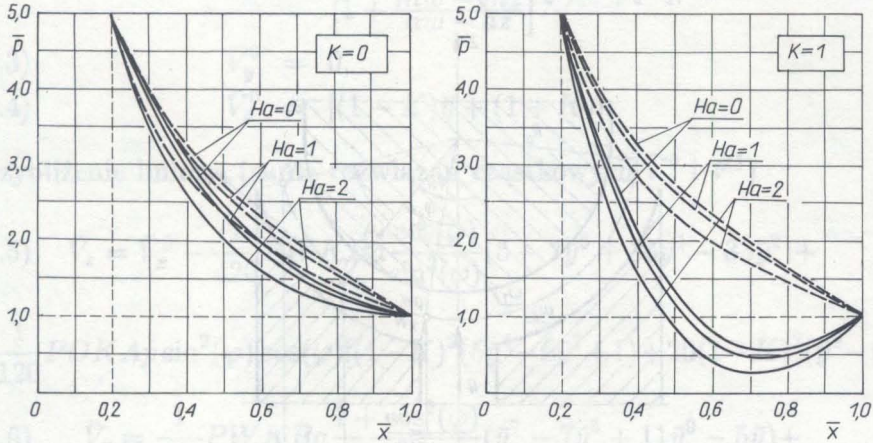
Rys. 7. Wpływ wzdłużnych sił bezwładności na profil składowej \bar{V}_θ
 ($PWS = 0,023, POS = 0, K = 1, Ha = 2, I = 0$), (----- $PWS = POS = 0$)



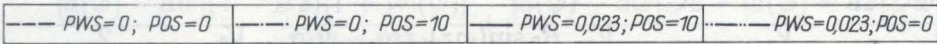
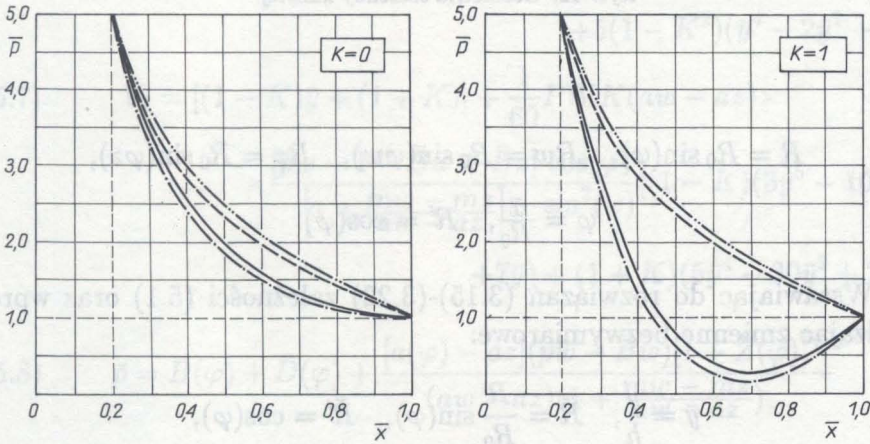
Rys. 8. Wpływ wartości liczby Hartmanna na profil składowej prędkości obwodowej \bar{V}_θ ($PWS = 0,023, POS = 10, \bar{x} = 0,3$), (--- $PWS = POS = 0$)



Rys. 9. Wpływ sił bezwładności na profil ciśnienia \bar{p} ($Ha = 2, I = 0$)



Rys. 10. Wpływ wartości liczby Hartmanna na profil ciśnienia \bar{p}
 ($PWS = 0,023, POS = 10, I = 0$), (----- $PWS = POS = 0$)



Rys. 11. Profil ciśnienia \bar{p} ($PWS = 0,023, POS = 10, Ha = 2$), (----- $PWS = POS = 0$)

otrzymamy wzory określające pole fizyczne przepływu cieczy w szczelinie między wirującymi powierzchniami obrotowymi kulistymi:

$$(5.2) \quad \bar{V}_x^0 = \frac{\left[1 - \frac{\bar{B}w - \bar{B}z}{pw - 1}\right]}{\left[1 + \frac{mw - mz}{aw - az}\right]} (1 - y^2),$$

$$(5.3) \quad \bar{V}_y^0 = 0,$$

$$(5.4) \quad \bar{V}_\theta^0 = [(1 - K)\bar{y} + (1 + K)],$$

przybliżenie liniowe (suma rozwiązań cząstkowych \bar{V}^0 i \bar{V}^1)

$$(5.5) \quad \bar{V}_x = \bar{V}_x^0 - \frac{1}{420} PWK Ba \frac{\cos(\varphi)}{\sin^2(\varphi)} (5 - 7\bar{y}^6 + 35\bar{y}^4 - 33\bar{y}^2) + \\ + \frac{1}{120} POK Ap \sin^2(\varphi) \cos(\varphi) [(1 - K)^2 (5\bar{y}^4 - 6\bar{y}^2 + 1) + 20(1 - K)^2 (\bar{y}^9 - \bar{y})],$$

$$(5.6) \quad \bar{V}_y = \frac{1}{240} PWK Ba \frac{1 + \cos^2(\varphi)}{\sin^3(\varphi)} (\bar{y}^7 - 7\bar{y}^5 + 11\bar{y}^9 - 5\bar{y}) + \\ + \frac{1}{60} POK Ap (2 \sin(\varphi) \cos^2(\varphi) - \sin^3(\varphi)) [(1 - K)^2 (\bar{y}^5 - 2\bar{y}^3 + \bar{y}) + \\ + 5(1 - K^2) (\bar{y}^4 - 2\bar{y}^2 + 1)],$$

$$(5.7) \quad \bar{V}_\theta = [(1 - K)\bar{y} + (1 + K)] + \frac{1}{60} PWK (aw - az) \times \\ \times \frac{[\bar{p}w - 1 - \bar{B}w + \bar{B}z]}{\left[1 + \frac{mw - mz}{aw - az}\right]} \frac{\cos(\varphi)}{\sin^2(\varphi)} [(1 - K)(3\bar{y}^5 - 10\bar{y}^3 + \\ + 7\bar{y}) + (1 + K)(5\bar{y}^4 - 30\bar{y}^2 + 25)],$$

$$(5.8) \quad \bar{p} = \bar{B}(\varphi) + \bar{D}(\varphi) + \frac{[a(\varphi) - az](\bar{p}w - \bar{B}w)[1 + \bar{Z}(\varphi)]}{(aw - az)\left(1 + \frac{mw - mz}{aw - az}\right)} - \\ - \frac{[a(\varphi) - aw](1 - \bar{B}z)[1 + \bar{W}(\varphi)]}{(aw - az)\left(1 + \frac{mw - mz}{aw - az}\right)} + \frac{[a(\varphi) - aw]\bar{D}z - [a(\varphi) - az]\bar{D}w}{aw - az};$$

gdzie

$$Ap = \frac{aw - az}{\bar{p}w - 1}, \quad Ba = \frac{aw - az}{\bar{p}w - 1} \frac{[\bar{p}w - 1 - (\bar{B}w - \bar{B}z)]^2}{\left[1 + \frac{mw - mz}{aw - az}\right]^2},$$

$$a(\varphi) = \ln \left| \operatorname{tg} \frac{\varphi}{2} \right|, \quad a_w = a(\varphi), \quad a_z = a(\varphi),$$

$$\bar{B}(\varphi) = -EHa \sin(\varphi w) \ln \left| \operatorname{tg} \frac{\varphi}{2} \right|, \quad \bar{B}_w = \bar{B}(\varphi w), \quad \bar{B}_z = \bar{B}(\varphi z),$$

$$Ha = B_0 h \sqrt{\frac{\sigma}{\mu}},$$

$$E = \frac{E_y \sin(\varphi z) \sqrt{\sigma \mu}}{h p z},$$

$$m(\varphi) = -\frac{1}{6} Ha^2 \sin^2(\varphi w) \int \frac{d\varphi}{\sin^3(\varphi)}, \quad m_w = m(\varphi w), \quad m_z = m(\varphi z),$$

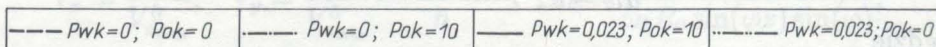
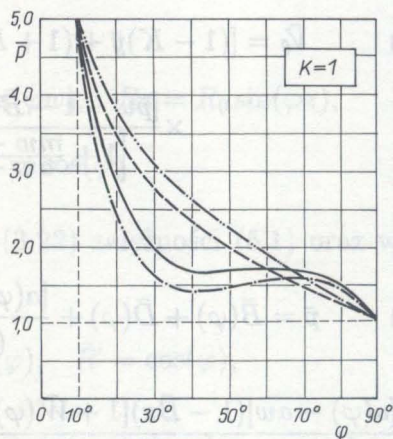
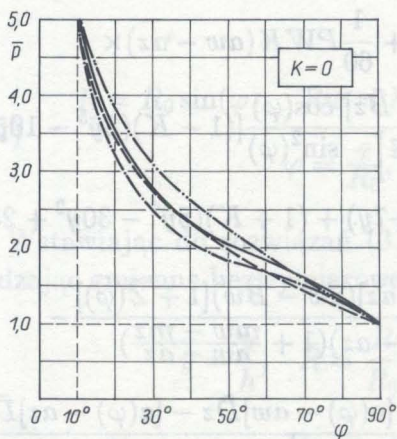
$$\bar{Z}(\varphi) = 1 + \frac{m(\varphi) - m_z}{a(\varphi) - a_z}, \quad \bar{W}(\varphi) = 1 + \frac{m(\varphi) - m_w}{a(\varphi) - a_w},$$

$$\bar{D}(\varphi) = PWSf w \frac{1}{\sin^2(\varphi)} + POSf o \sin^2(\varphi), \quad \bar{D}_w = \bar{D}(\varphi), \quad \bar{D}_z = \bar{D}(\varphi),$$

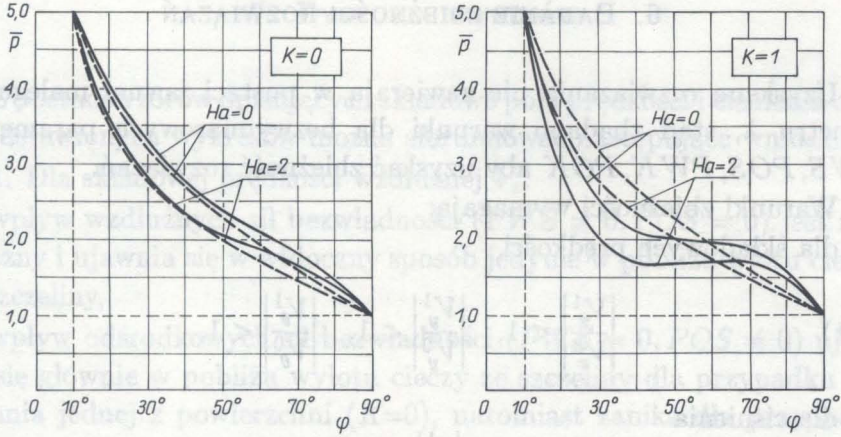
$$f w = -\frac{3}{35} \frac{[\bar{p} w - 1 - \bar{B}_w + \bar{B}_z]^2}{\left[1 + \frac{m_w - m_z}{a_w - a_z}\right]^2}, \quad f o = \frac{1}{40} [(1 - K)^2 + 5(1 + K)^2],$$

$$K = \frac{\omega_2}{\omega_1},$$

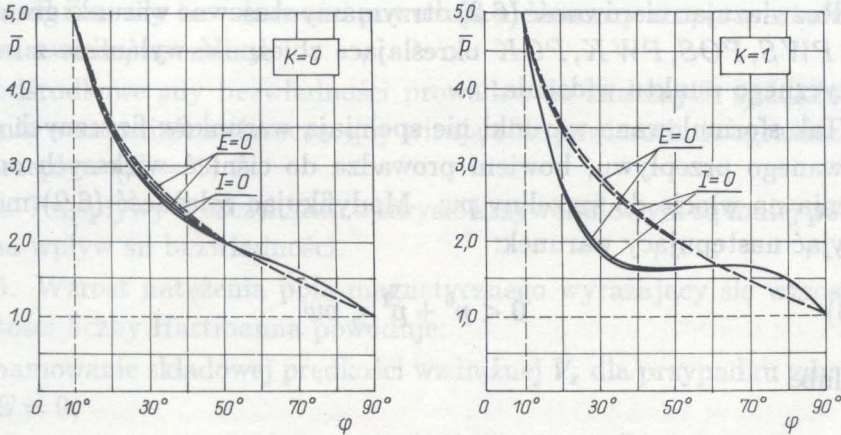
$$PWK = \frac{\rho p z^2 h^4}{\mu^2 R_0^2 \sin^2(\varphi z) (a_w - a_z)^2}, \quad POK = \frac{\rho \omega_1 R_0^2 \sin^2(\varphi z)}{p z}.$$



Rys. 13. Wpływ sił bezwładności na profil ciśnienia \bar{p} ($Ha = 2, I = 0$)



Rys. 14. Wpływ wartości liczby Hartmanna na profil ciśnienia \bar{p} ($PWK = 0,023, POK = 10, I = 0$), (----- $PWK = POK = 0$)



Rys. 15. Profil ciśnienia \bar{p} ($PWK = 0,023, POK = 10, Ha = 2$), (----- $PWK = POK = 0$)

Z uwagi na to, że wykresy rozkładów prędkości dla przepływu cieczy w szczelinie między powierzchniami kulistymi jakościowo nie różnią się od rozkładów prędkości dla przepływu cieczy w szczelinie stożkowej, wykresami zilustrowano jedynie formuły określające profile ciśnień (rys. 13-15).

6. BADANIE ZBIEŻNOŚCI ROZWIĄZAŃ

Uzyskane rozwiązania nie zawierają w postaci jawnej małego parametru λ , stąd zbadano warunki dla bezwymiarowych parametrów PWS, POS, PWK, POK aby uzyskać zbieżność rozwiązań.

Warunki zbieżności wymagają:

dla składowych prędkości

$$(6.1) \quad \left| \frac{V_x^1}{V_x^0} \right| < 1, \quad \left| \frac{V_y^1}{V_y^0} \right| < 1, \quad \left| \frac{V_\theta^1}{V_\theta^0} \right| < 1,$$

dla ciśnienia

$$(6.2) \quad \left| \frac{p^1}{p^0} \right| < 1.$$

Ponieważ zbieżność rozwiązań dla składowych prędkości wynika ze zbieżności rozwiązań dla ciśnienia, poniżej przedstawiono analizę zbieżności w odniesieniu do funkcji ciśnienia.

Rozwiązując nierówność (6.2) otrzymamy stosowne warunki graniczne dla PWS, POS, PWK, POK określające zbieżność wyłącznie z matematycznego punktu widzenia.

Tak sformułowane warunki nie spełniają warunków fizycznych analizowanego przepływu, bowiem prowadzą do ciśnień większych od ciśnienia na wlocie do szczeliny pw . Modyfikując zależność (6.2) można przyjąć następujący warunek:

$$(6.3) \quad 0 < p^0 + p^1 < pw$$

lub

$$(6.4) \quad p^0 + p_{wzd}^1 < pw, \\ |p^0 + p_{ods}^1| > 0.$$

p_{wzd} , p_{ods} oznaczają ciśnienia związane z oddziaływaniem wzdłużnych bądź odśrodkowych sił bezwładności.

Nierówności (6.4) pozwalają rozważyć warunki zbieżności odrębnie dla parametrów PWS, PWK i POS, POK . Wykorzystując zależności (6.4) wyznaczono graniczne wartości PWS, POS, PWK, POK ze względu na zbieżność uzyskanych rozwiązań.

7. Dyskusja wyników

Z postaci wzorów opisujących składowe pola prędkości i ciśnienia oraz przedstawionych wykresów można sformułować następujące wnioski:

1. Dla składowej prędkości wzdłużnej \bar{V}_x :

wpływ wzdłużnych sił bezwładności ($PWS \neq 0, POS = 0$) jest nieznaczny i ujawnia się w widoczny sposób jedynie w pobliżu wlotu cieczy do szczeliny,

wpływ odśrodkowych sił bezwładności ($PWS = 0, POS \neq 0$) ujawnia się głównie w pobliżu wylotu cieczy ze szczeliny dla przypadku wirowania jednej z powierzchni ($K=0$), natomiast zanika dla przypadku wirowania obu powierzchni ($K = 1$).

2. Dla składowej prędkości obwodowej \bar{V}_θ :

wpływ wzdłużnych sił bezwładności jest istotny tylko w pobliżu wlotu cieczy do szczeliny.

3. Dla ciśnienia:

wzdłużne siły bezwładności powodują nieznaczny wzrost wartości ciśnienia wzdłuż szczeliny,

odśrodkowe siły bezwładności prowadzą do znacznych spadków ciśnienia w szczelinie zwłaszcza, gdy wirują obie powierzchnie ograniczające przepływ ($K = 1$).

4. Przepływy w szczelinach o zarysie krzywoliniowym są mniej podatne na wpływ sił bezwładności.

5. Wzrost natężenia pola magnetycznego wyrażający się wzrostem wartości liczby Hartmanna powoduje:

hamowanie składowej prędkości wzdłużnej \bar{V}_x dla przypadku gdy $I = 0$ i $E = 0$,

przyśpieszanie składowej prędkości obwodowej \bar{V}_θ zarówno dla przypadku gdy $I = 0$, jak również gdy $E = 0$,

spadek ciśnienia wzdłuż szczeliny.

6. Stan zwarcia w obwodzie, w porównaniu z obwodem elektrycznym otwartym powoduje:

hamowanie składowej prędkości wzdłużnej \bar{V}_x ,

przyśpieszanie składowej prędkości obwodowej \bar{V}_θ ,

nieznaczny wzrost wartości ciśnienia wzdłuż szczeliny w porównaniu z obwodem otwartym ($I = 0$).

LITERATURA CYTOWANA W TEKŚCIE

1. C.W.SUTTON, A.SHERMAN, *Engineering magnetohydrodynamics*, Mc.Graw-Hill, New York 1969.
2. А.Б.Батажин, Г.А.Любимов, Ц.А.Регирер, *Магнитогидродинамические течения в каналах*, Наука, 1970.
3. S.J.PAJ, *A review of elektro-magneto-fluid dynamics problems*, Мес. Apliquee, 19, 1, 1974.
4. W.F.HUGHES, F.J.YOUNG, *Elektromagnetodynamics of fluids*, J.Wiley, London 1966.
5. E.WALICKI, *Ruch płynów lepkich w szczelinach wzdluznych lozysk slizgowych*, Zesz. Nauk. Akad. Techn. - Roln., 50, 18, 1977.

Резюме

ЛАМИНАРНОЕ МАГНИТОГИДРОДИНАМИЧЕСКОЕ ТЕЧЕНИЕ ВЯЗКОЙ
ЖИДКОСТИ В ЩЕЛИ МЕЖДУ КРИВОЛИНЕЙНЫМИ ВРАЩАТЕЛЬНЫМИ
ПОВЕРХНОСТЯМИ

В работе рассматривается стационарное течение вязкой жидкости в щели между криволинейными вращательными поверхностями. Для решения задачи использованы уравнения пограничного слоя в криволинейной системе координат x, θ, y . Уравнения пограничного слоя решены методом малого параметра. Полученные формулы определяют такие параметры, как составляющие скорости $\bar{V}_x, \bar{V}_\theta, \bar{V}_y$ и давление \bar{p} .

SUMMARY

LAMINAR MAGNETOHYDRODYNAMICS FLOW OF VISCOUS FLUID THROUGH A
SLOT BETWEEN CURVILINEAR SURFACES OF REVOLUTION

Steady flow of viscous fluid through a slot between the curvilinear surfaces of revolution is considered. The boundary layer equations are expressed in terms of the intrinsic curvilinear orthogonal coordinate system x, θ, y . The method of perturbation is used to solve the boundary layer equations. As a result, the formulae defining such parameters of the flow as the velocity components $\bar{V}_x, \bar{V}_\theta, \bar{V}_y$ and pressure \bar{p} are obtained.

AKADEMIA TECHNICZNO-ROLNICZA, BYDGOSZCZ

Praca została złożona w Redakcji dnia 22 stycznia 1990 r.